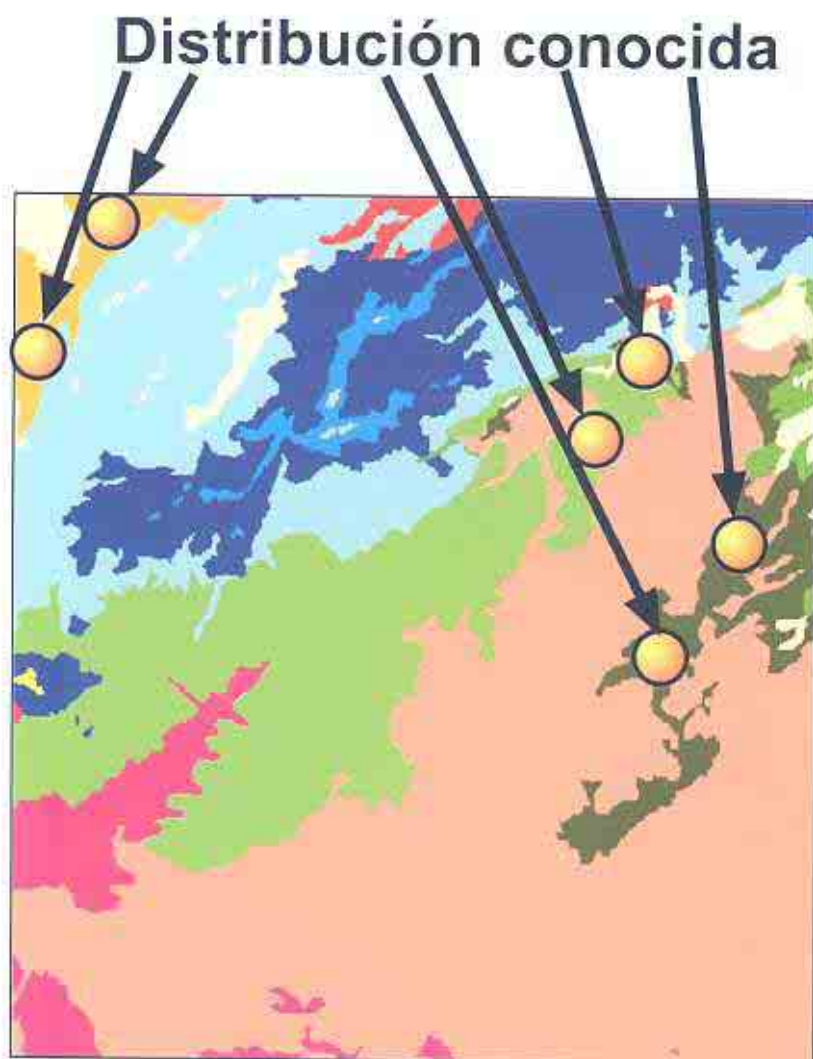


VILLASCO, J. L.; SORIANO, O.; FERNÁNDEZ, J. Y RUBIO, A.: "Características físico-químicas de diferentes masas de agua: I Cuenca del Tajo (Guadalajara, España)"



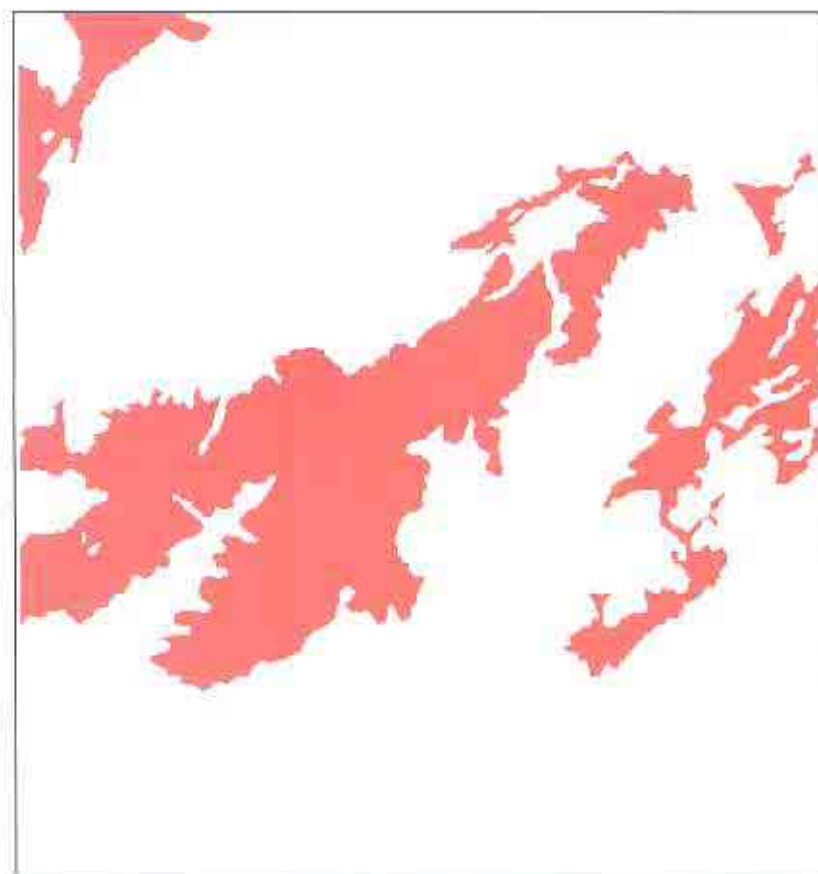
Lámina 1 Vista general de Ojo de Paredes [Ojo de Paredes panoramic view]

HORTAL, J. Y LOBO, J. M.: "Una metodología para predecir la distribución espacial de la diversidad biológica"

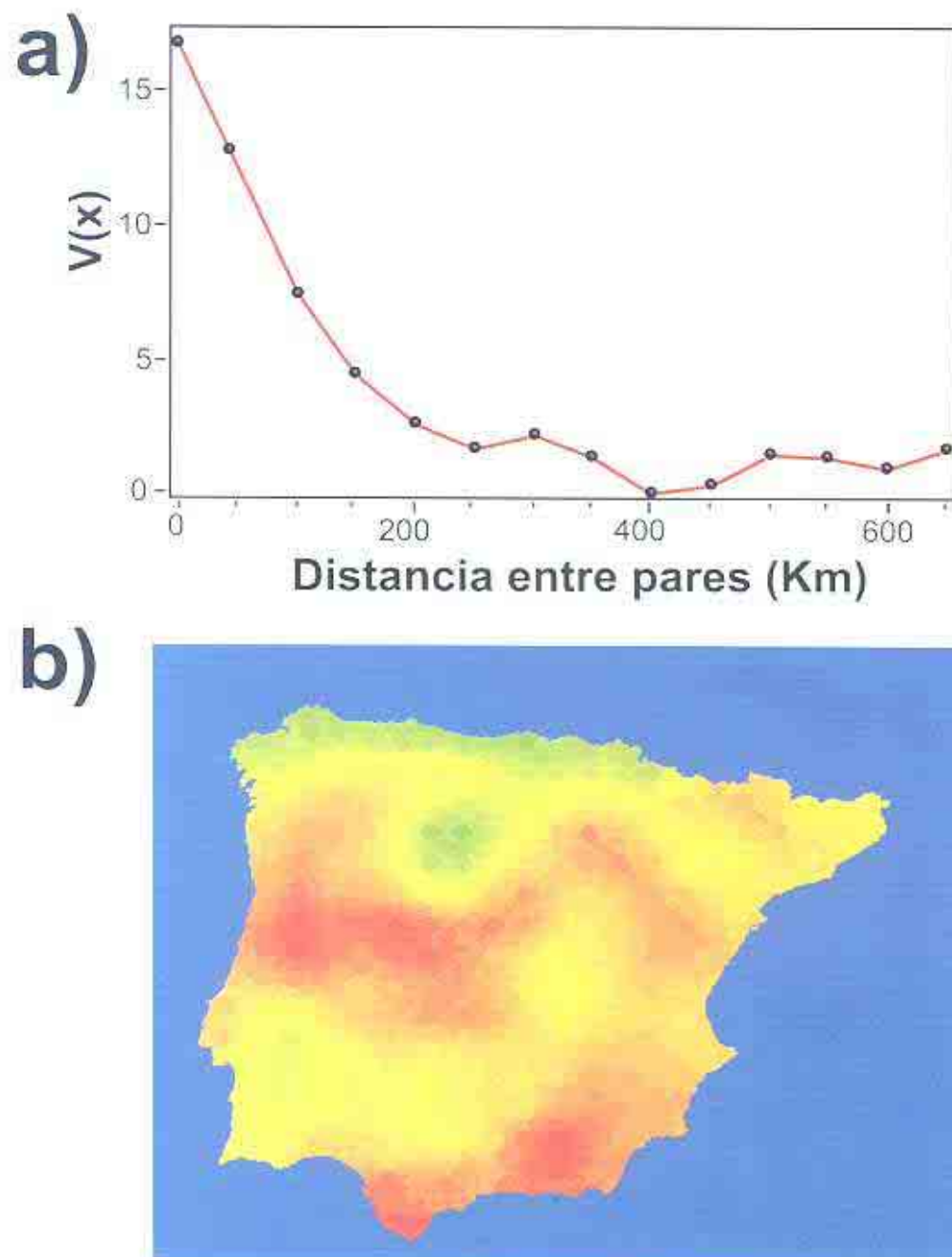


**Lamina 2.** Predicciones de áreas de distribución usando GAP Analysis. A partir de la distribución conocida de una especie se determina su área de distribución potencial como la de las categorías bioclimáticas en las que aparece.

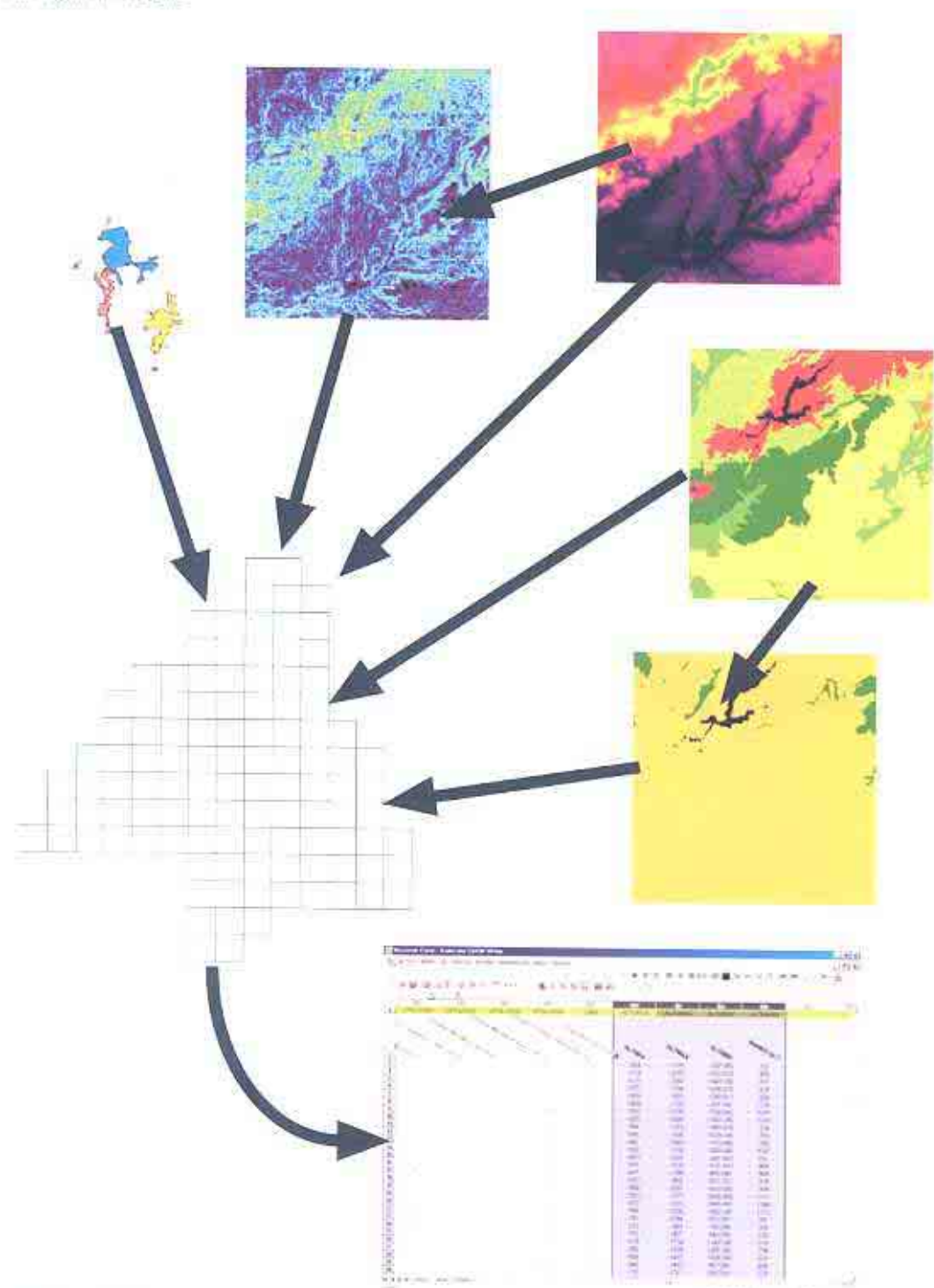
## Distribución predicha



[Distribution areas prediction using GAP Analysis. From the known distribution of one species, its potential distribution area is defined as those of the bioclimatic categories in which it occurs.]



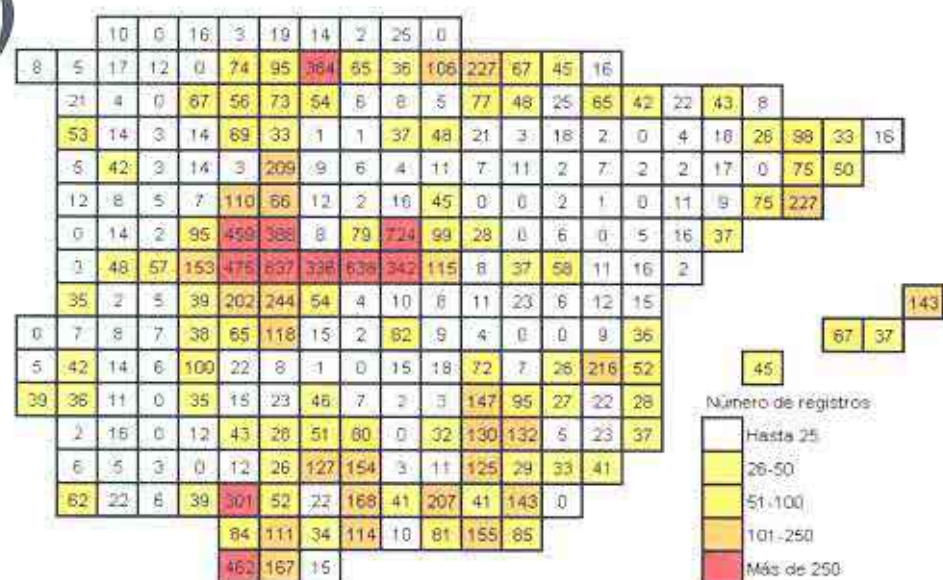
**Lámina 3** Autocorrelación espacial en la distribución de la riqueza de especies de Scarabaeinae en la Península Ibérica (ver ejemplo práctico en el texto). a) Covariograma, en el que se observa cómo disminuye la correlación entre los valores de riqueza (ep- $y$ ) de áreas situadas a distancias (respon- $x$ ). b) Superficie continua del número total de especies. Este mapa se obtuvo interpolando los valores de riqueza predictos para las 252 cuadrículas UTM de 50 Km. Ibéricas mediante el módulo INTERPOL, de Idria 2.0 (CLARK LABS 1988), modificado de LOBO & MARTÍN-PIERA 2002 [Spatial autocorrelation in Iberian Scarabaeinae species richness distribution (see practical example in the text): a) Covariogram, where it is shown the diminishing correlation among richness values ( $y$  axis) from areas placed at increasing distance ( $x$  axis). b) Continuous surface of the total number of dung beetle species. This map was obtained interpolating the richness values predicted for the 252 Iberian 50 km. UTM squares by means of the INTERPOL module of Idria 2.0 (CLARK LABS 1988), modified from LOBO & MARTÍN-PIERA 2002]



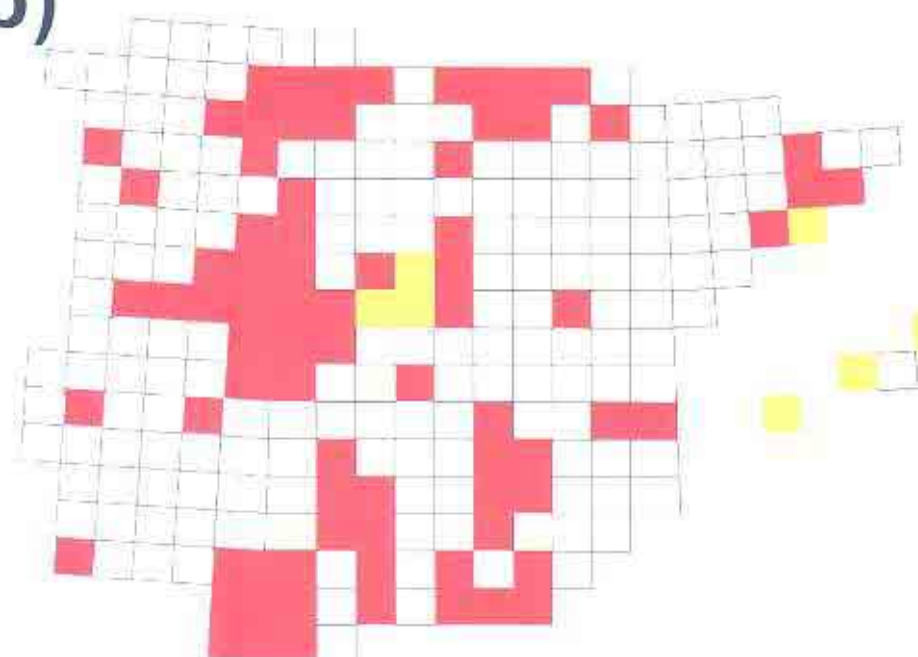
**Lámina 4** Extracción de los valores de las variables independientes para cada unidad territorial. En un primer paso, se crean las coberturas de las variables derivadas que se van a utilizar. Posteriormente, todas las coberturas necesarias se cruzan con la que define las unidades territoriales, extrayéndose finalmente sus valores a una hoja de cálculo o paquete estadístico (ver texto). [Independent variables values extraction for each territorial unit. In a first step, the layers of the derived variables that will be used are created. Later, all the needed layers are crossed with the one that defines the territorial units, being finally extracted its values to a worksheet or statistics package (see text).]



a)



b)



**Lamina 5.** a) Número de registros almacenados en la base de datos Ibérica de Scarabaeinae, BANDASCA, en cada cuadrícula UTM de 50x50 km con más del 85% de su superficie sobre tierra. b) Cuadrículas UTM consideradas inicialmente como adecuadamente muestreadas de acuerdo con la relación asintótica entre especies encontradas y esfuerzo de muestreo ( $S_e = S_{max} [1 - \exp(-br)]$ ) (SABERÓN & LORENTE 1993; ver texto). Las celdas amarillas corresponden a los 7 outliers detectados. Las 75 cuadrículas son las que se utilizaron para el ajuste del modelo final. Modificado de LOBO & MARTÍN-PIERA 2002. a) Number of data base records compiled in BANDASCA database of Iberian Scarabaeinae for each UTM 50x50 grid cell with more than 85% of its surface on land. b) Grid cells judged to be adequately sampled according to the asymptotic species-effort relationship ( $S_e = S_{max} [1 - \exp(-br)]$ ) (SABERÓN & LORENTE 1993; see text). Modified from LOBO & MARTÍN-PIERA 2002. Yellow grid cells correspond to the 7 outliers detected, the 75 red cells are those used for fitting the final model. Modified from LOBO & MARTÍN-PIERA 2002.